

Estudio de nuevos complejos metálicos derivados de un ligando flexible polidentado para aplicaciones biológicas y biomédicas

Material suplementario

1 Datos espectrales

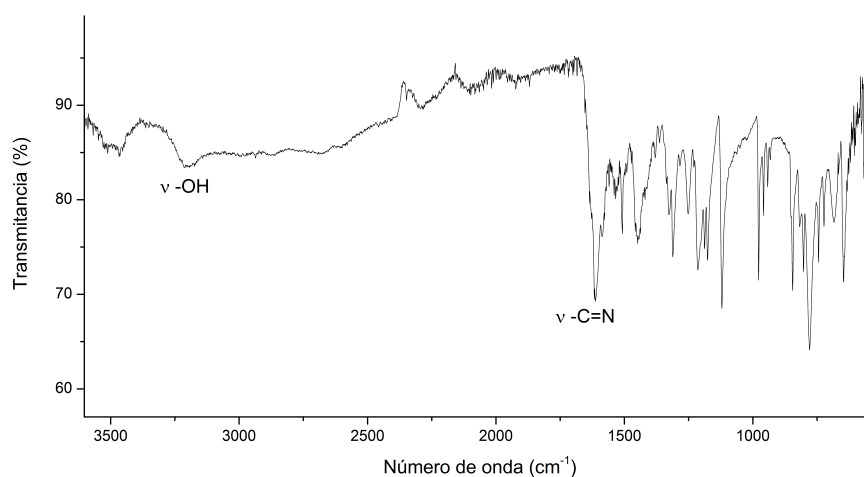


Figura S1. Espectro ATR-IR de **F**

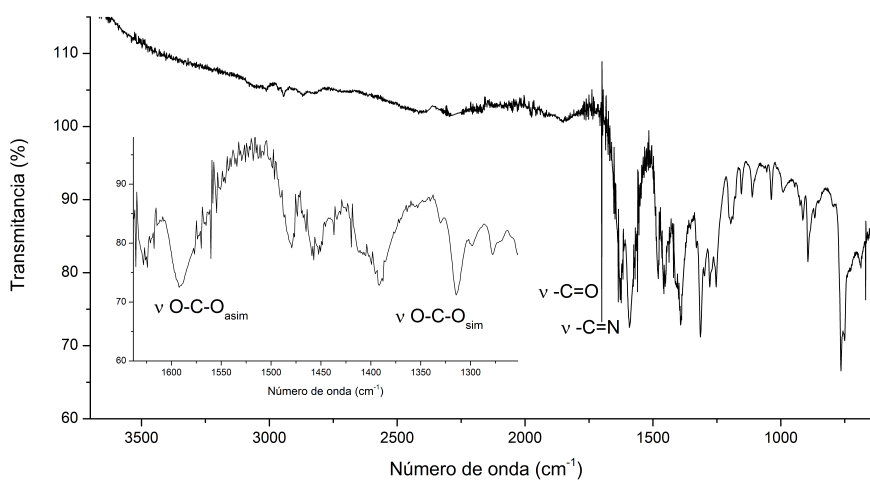


Figura S2. Espectro ATR-IR de **1**.

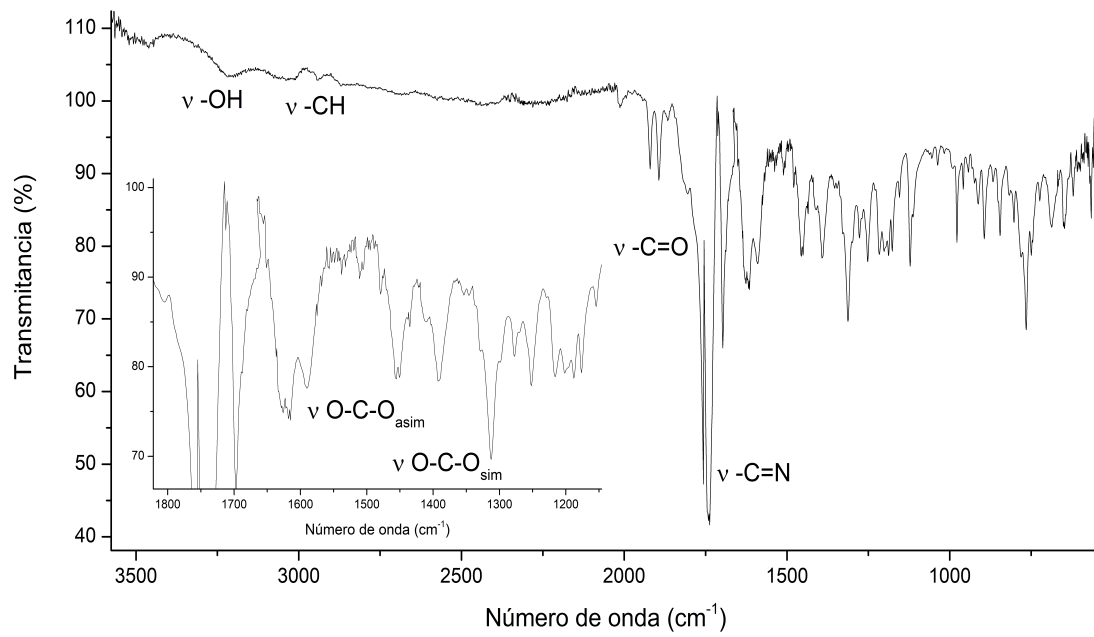


Figura S3. Espectro ATR-IR de 2.

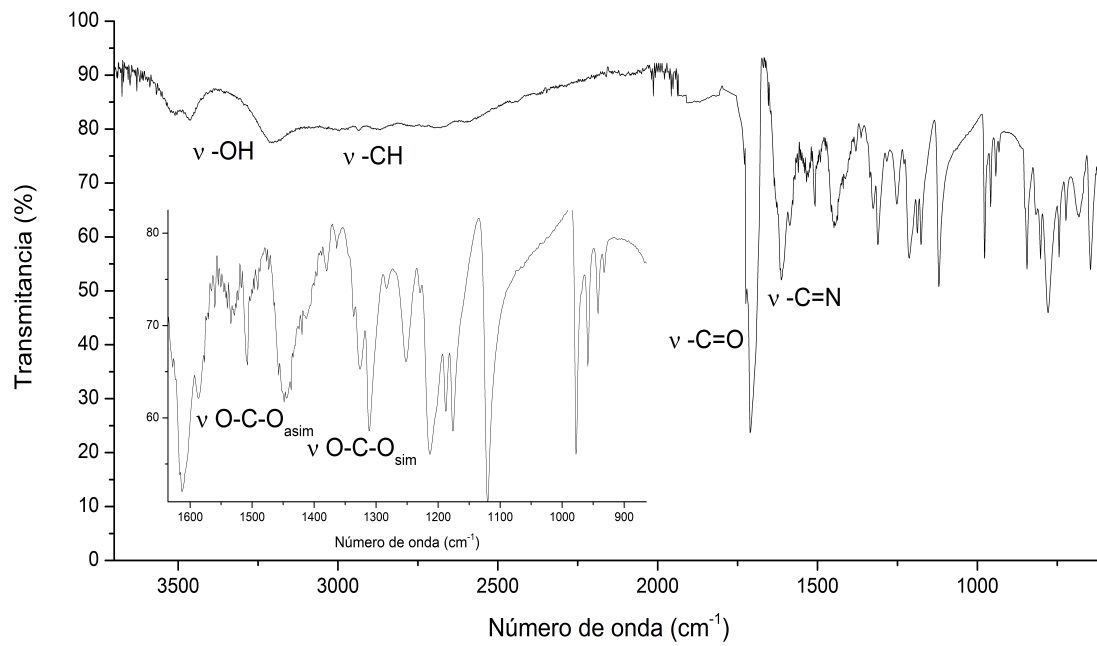


Figura S4. Espectro ATR-IR de 3.

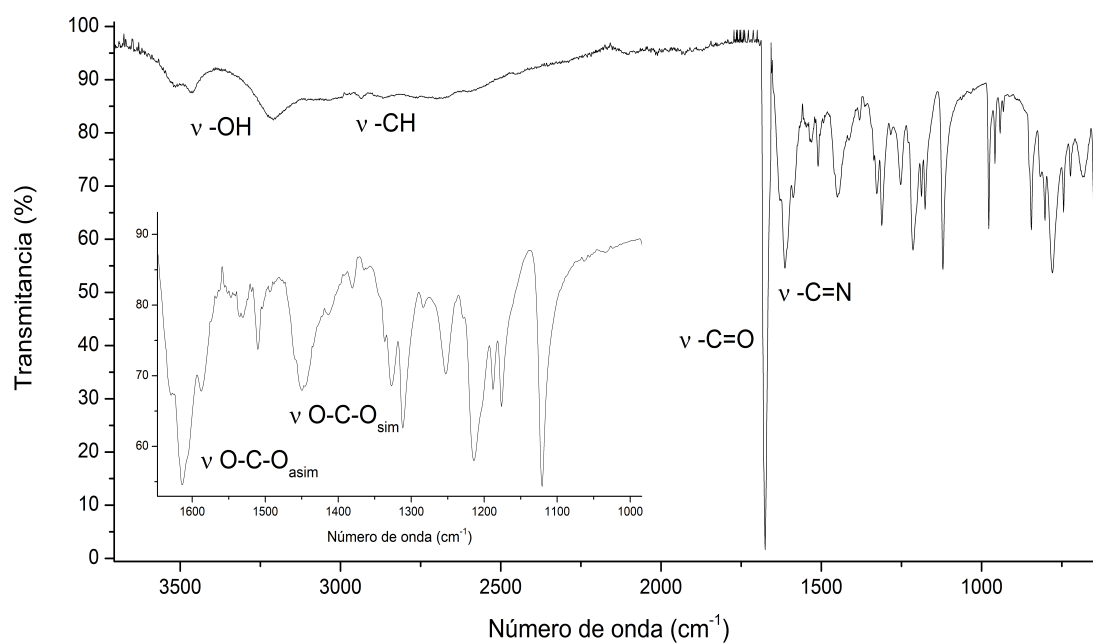


Figura S5. Espectro ATR-IR de 4.

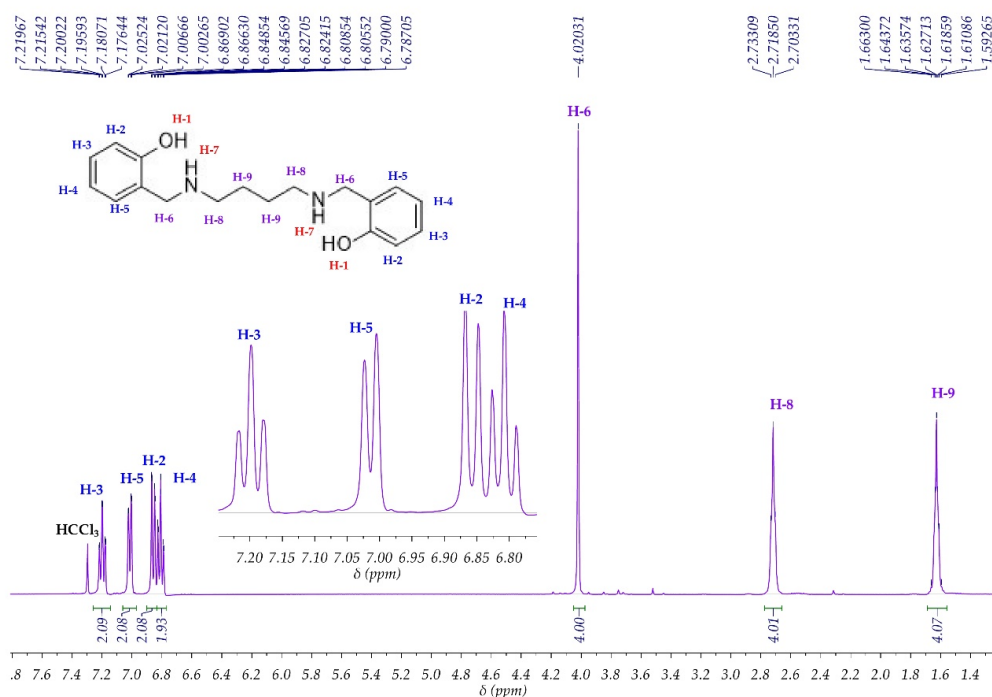


Figura S6. Espectro RMN ¹H de SBSR.

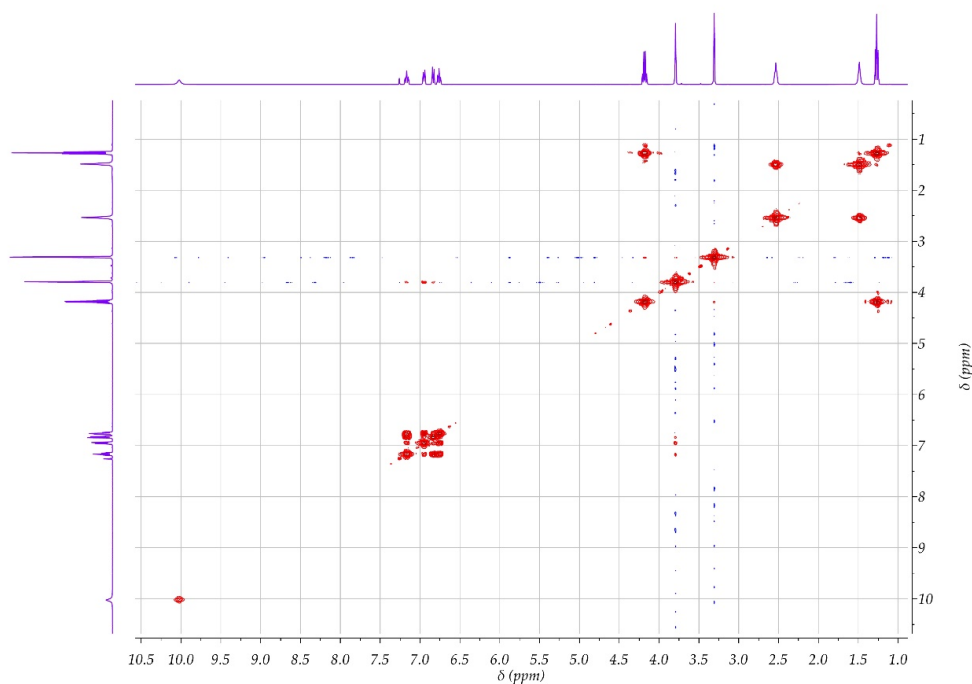


Figura S7. Espectro RMN COSY de L.

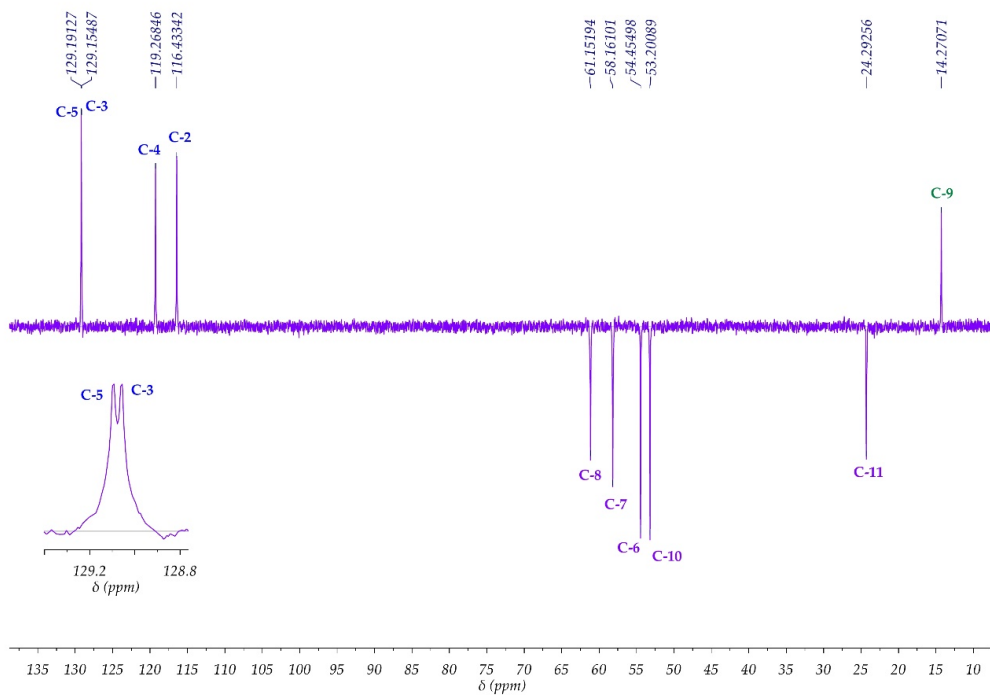


Figura S8. Espectro RMN DEPT135 de L.

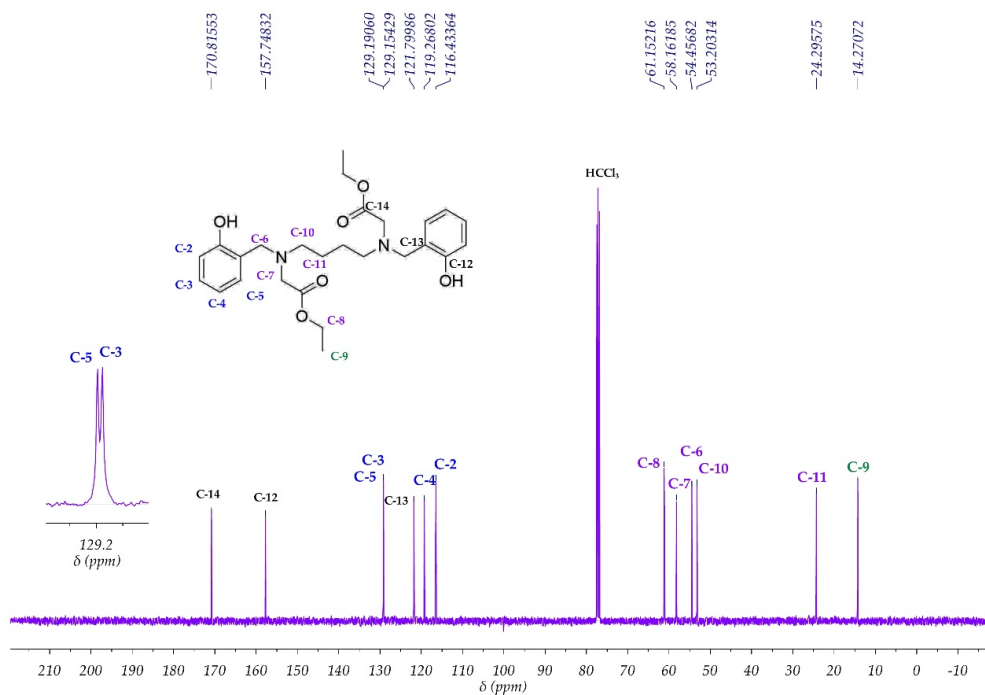


Figura S9. Espectro RMN ^{13}C de L.

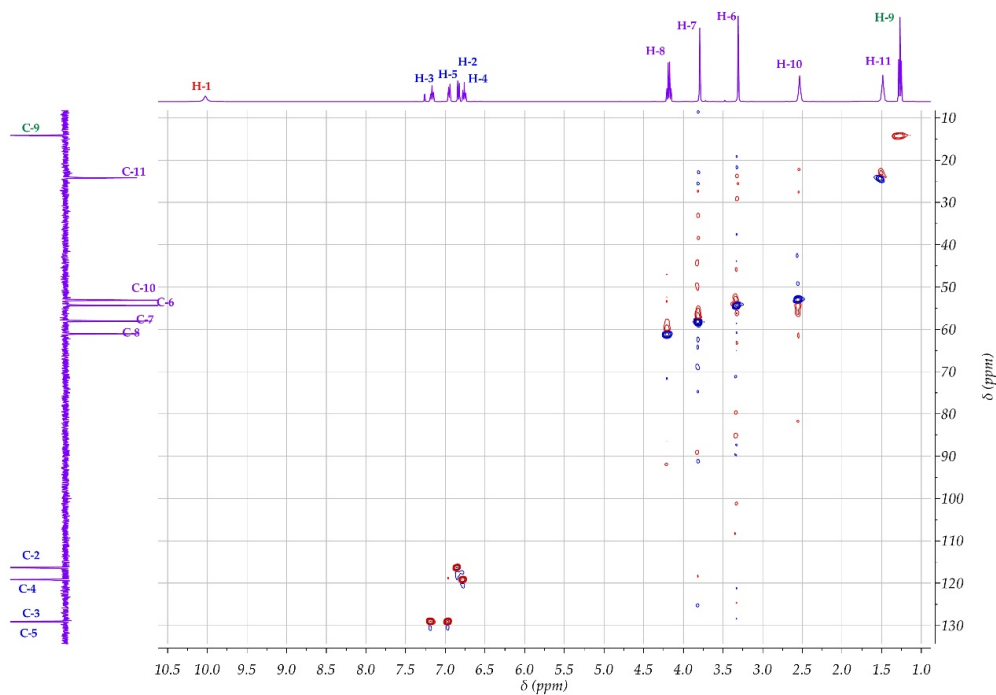


Figura S10. Espectro RMN HSQC de L.

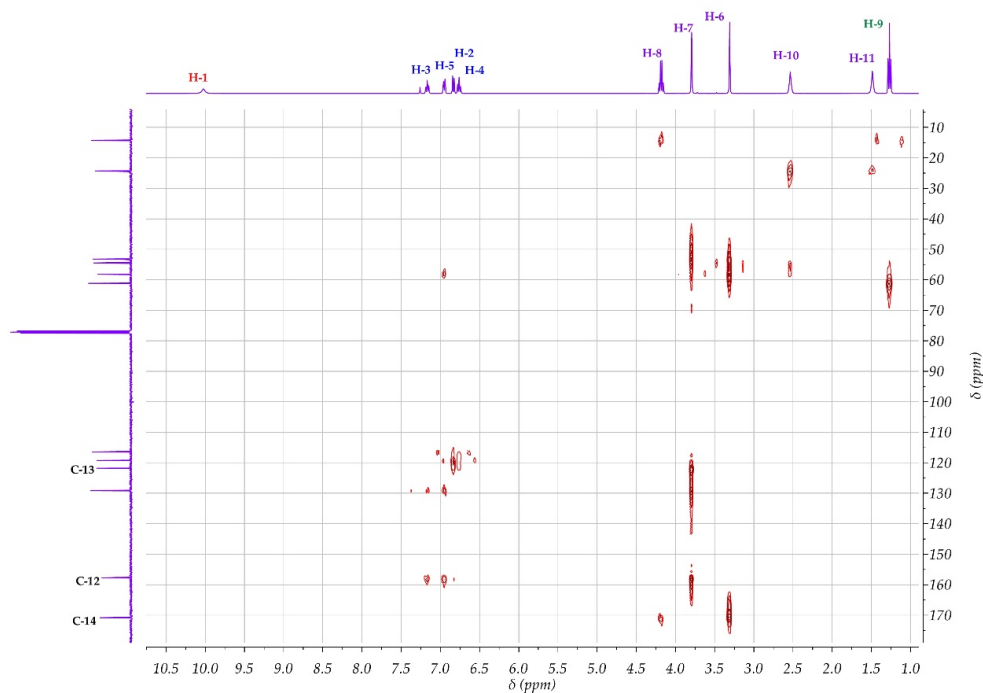


Figura S11. Espectro RMN HMBC de L.

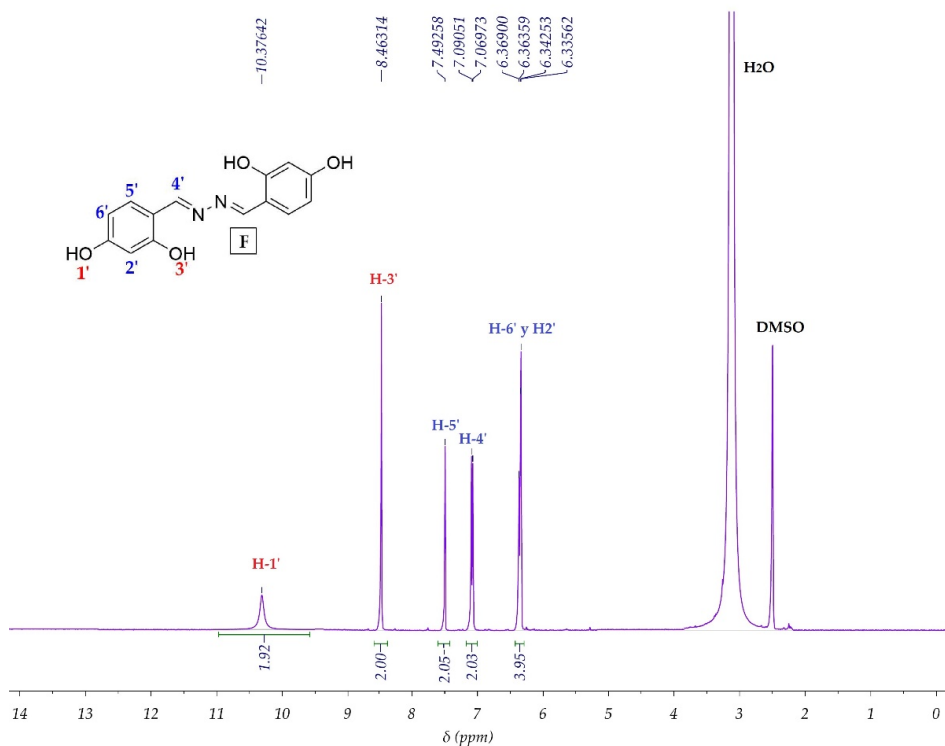


Figura S12. Espectro ^1H -RMN de F.

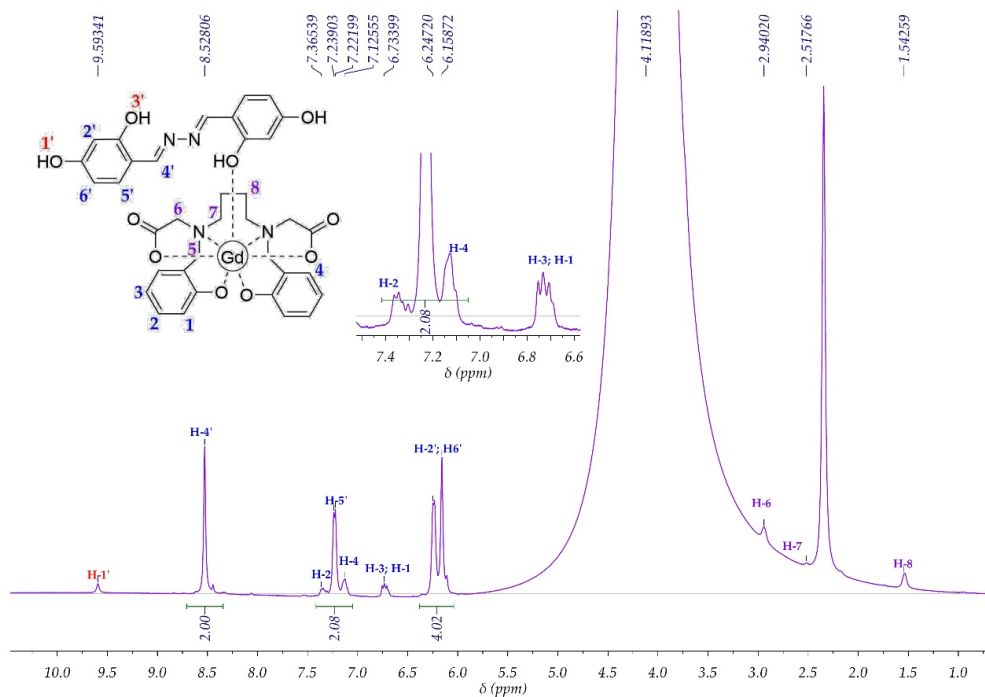


Figura S13. Espectro RMN ¹H de 1.

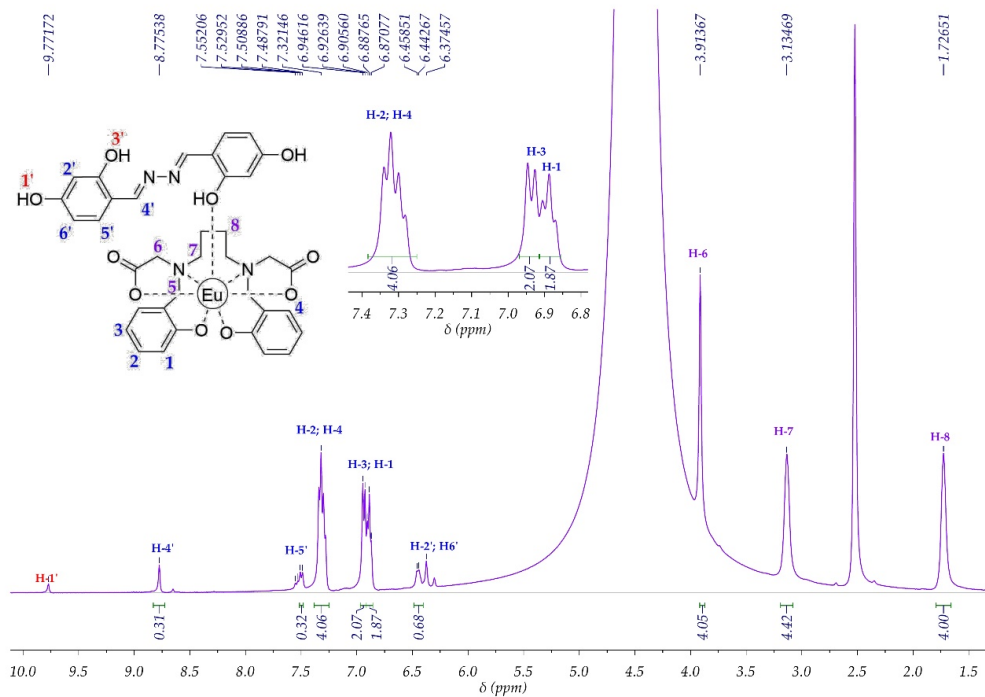


Figura S14. Espectro RMN ¹H de 2.

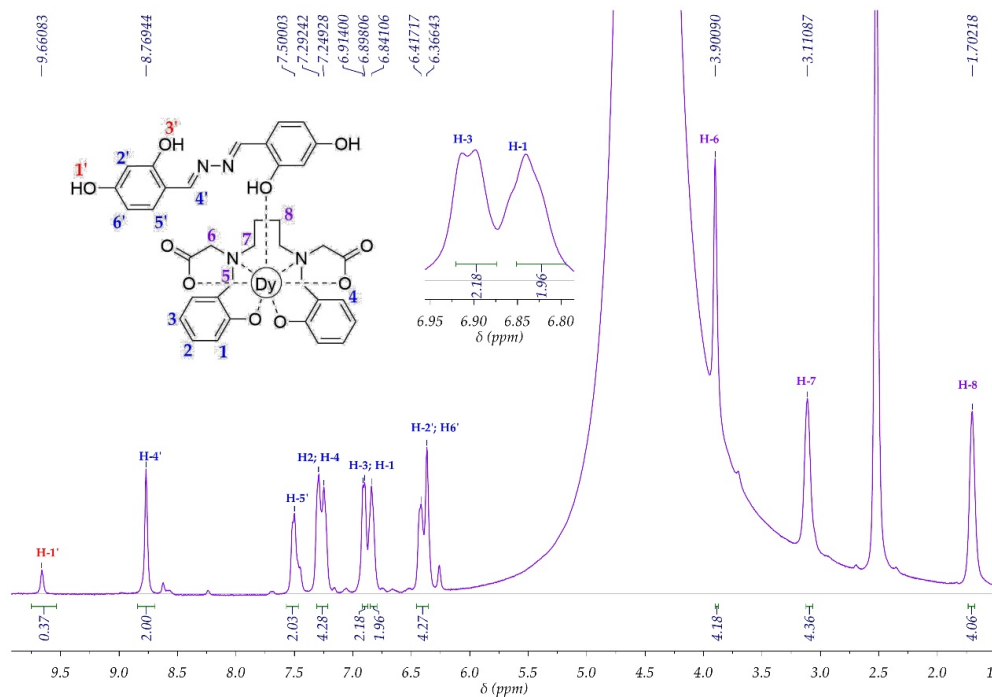


Figura S15. Espectro RMN ¹H de 3.

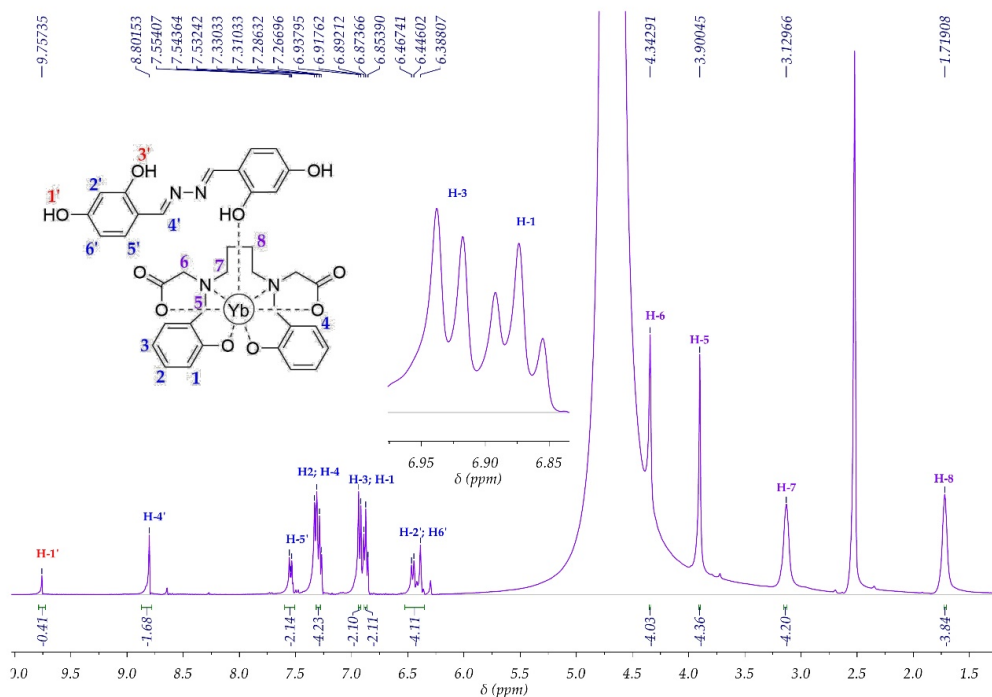


Figura S16. Espectro RMN ¹H de 4.

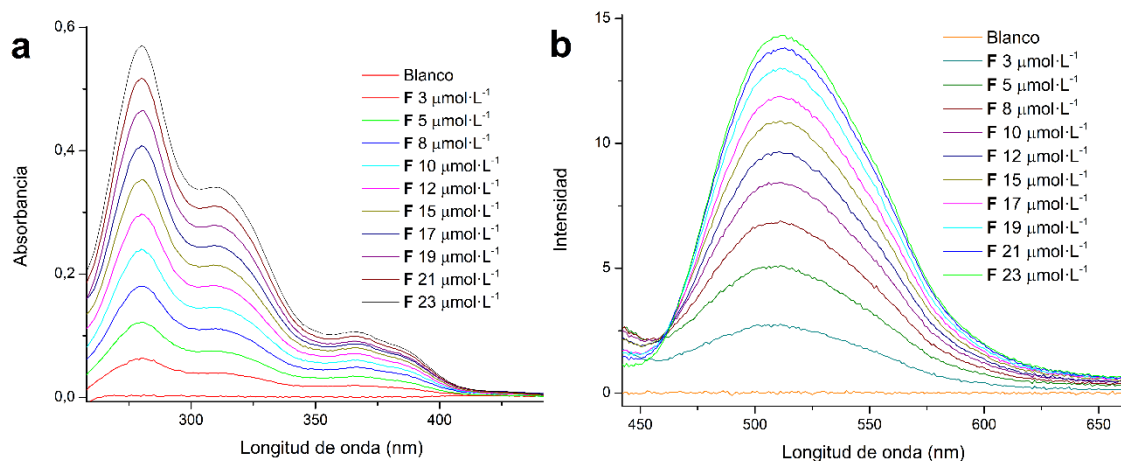


Figura S17. Espectros de a). absorción y b). emisión de F.

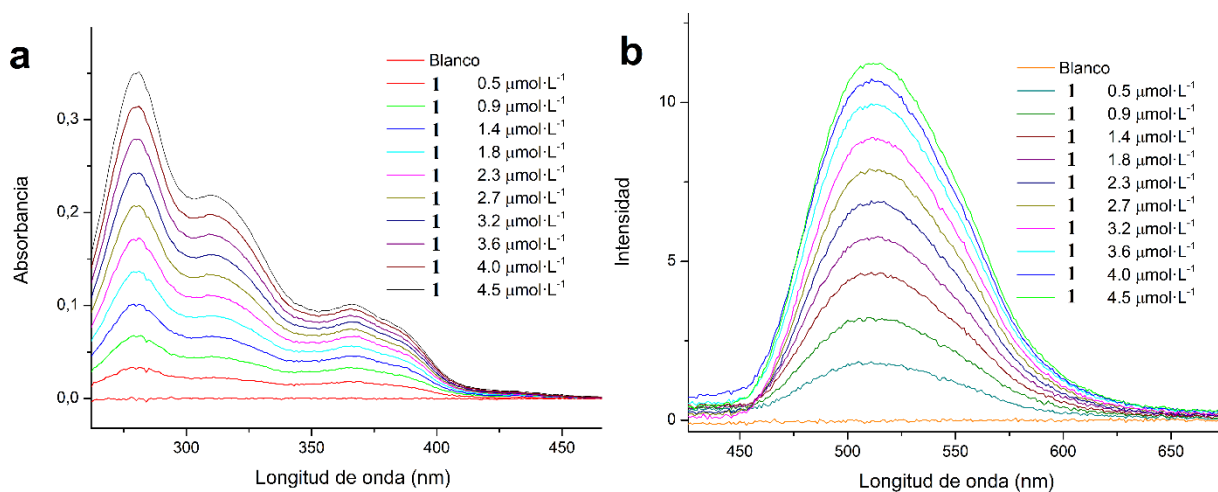


Figura S18. Espectros de a). absorción y b). emisión de 1.

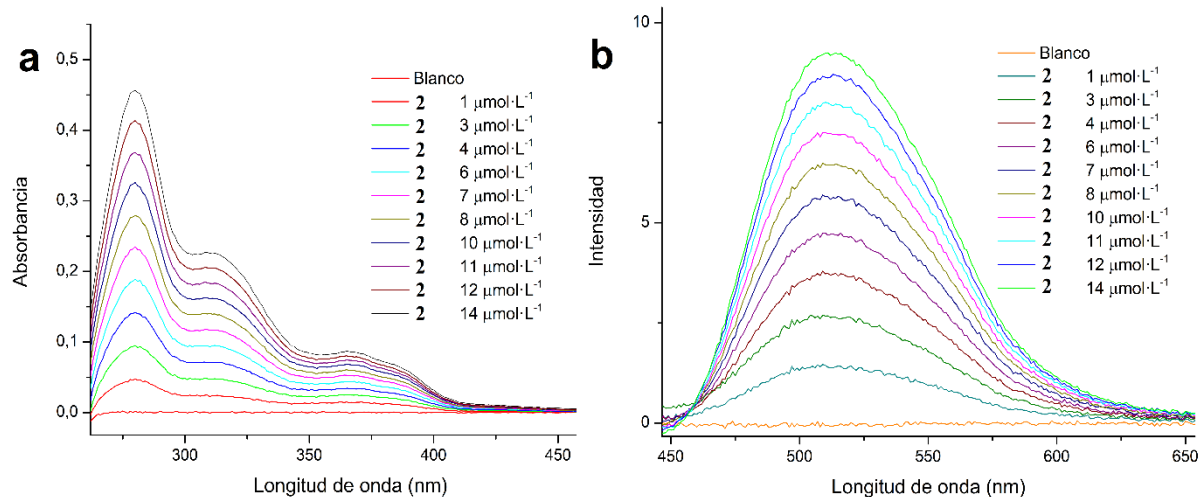


Figura S19. Espectros de a). absorción y b). emisión 2.

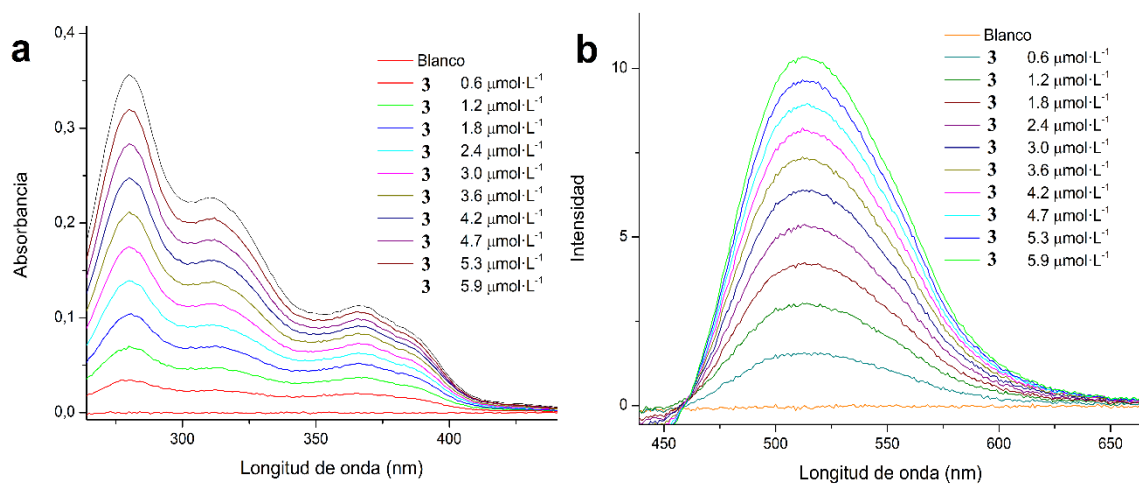


Figura S20. Espectros de a). absorción y b). emisión 3.

2 Curvas de calibración para cuantificación de iones lantánidos libres Ln³⁺.

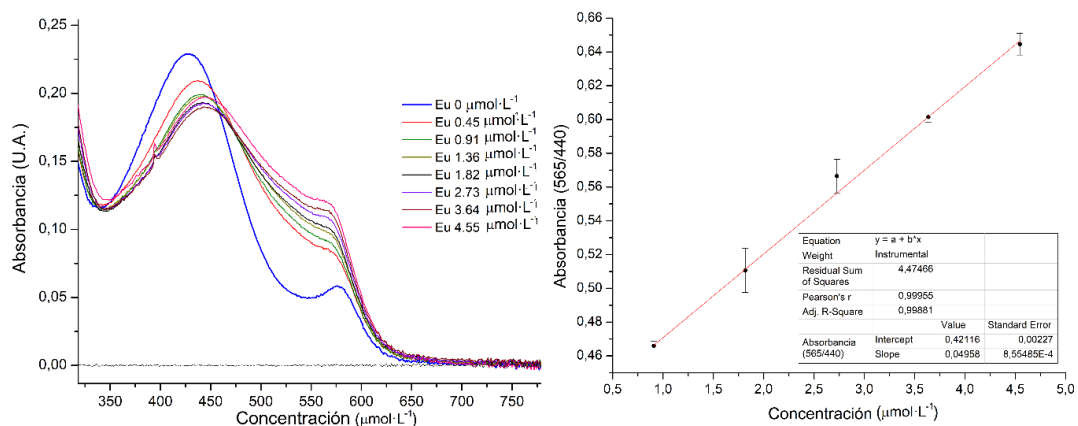


Figura S21. Espectros y curva de calibración para Europio

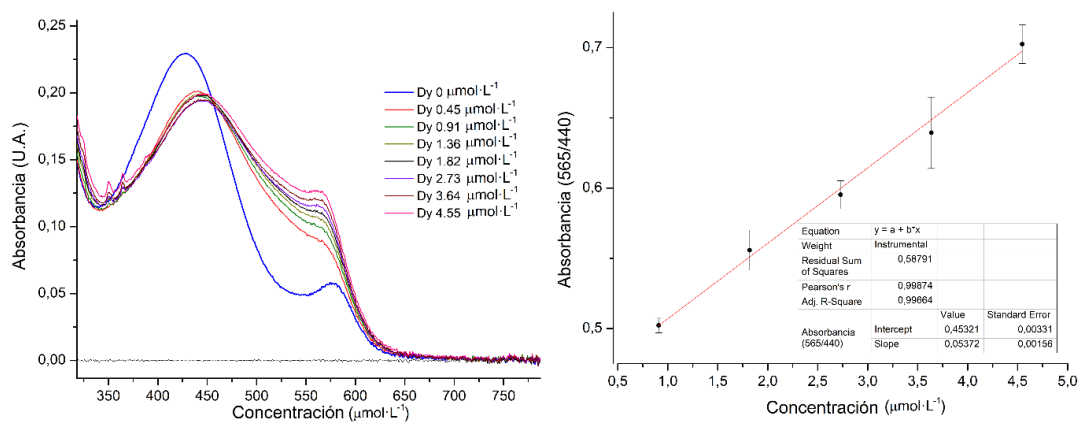


Figura S22. Espectros y curva de calibración para Disprosio.

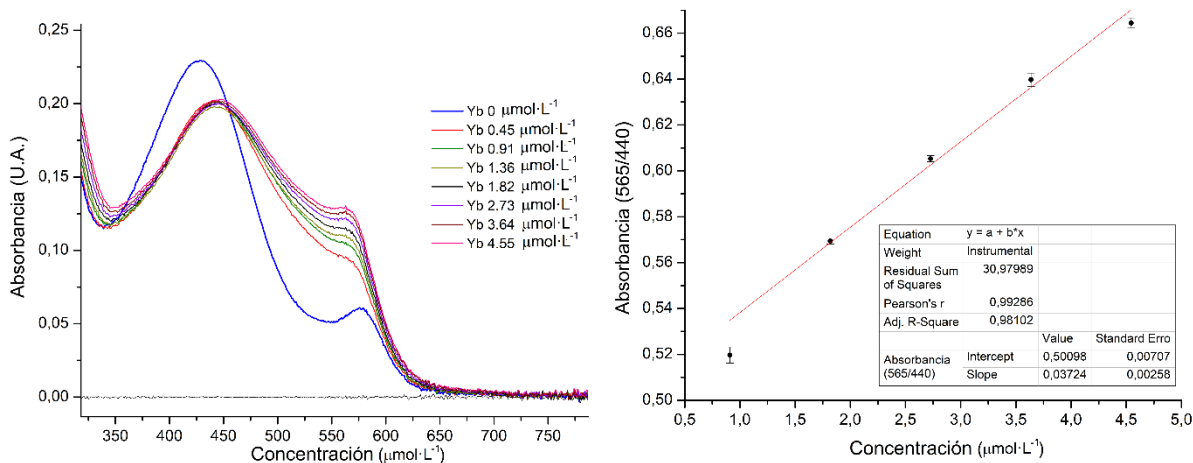


Figura S23. Espectros y curva de calibración para Iterbio.

3 Termogramas (TGA – DTG)

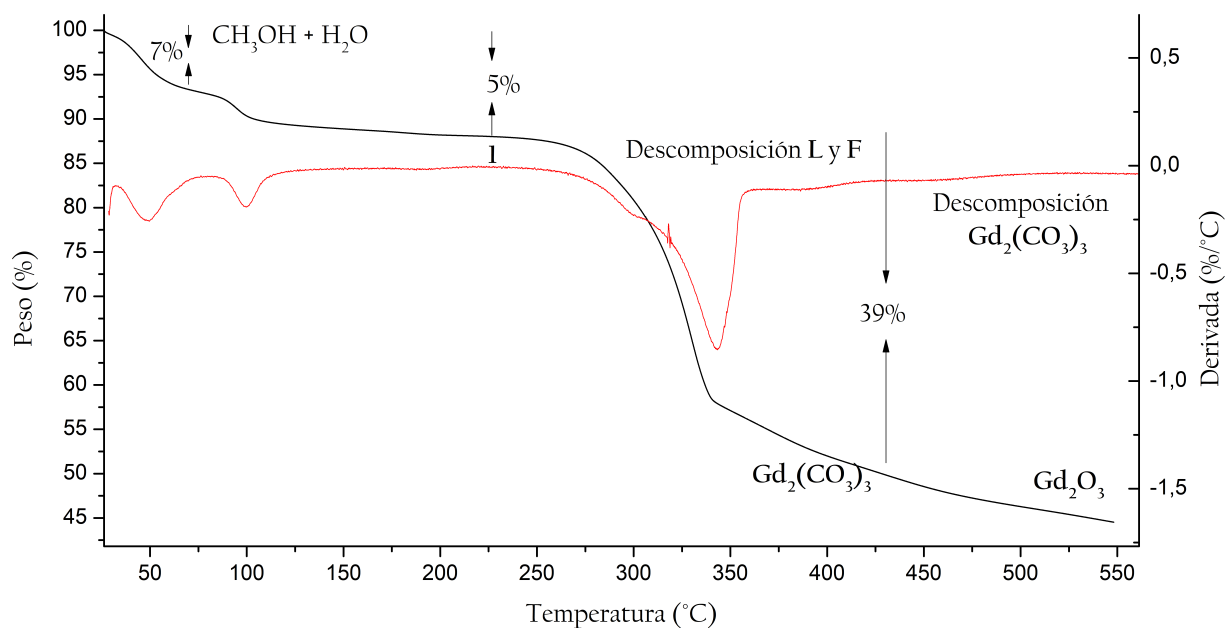


Figura S24. Termograma del complejo 1.

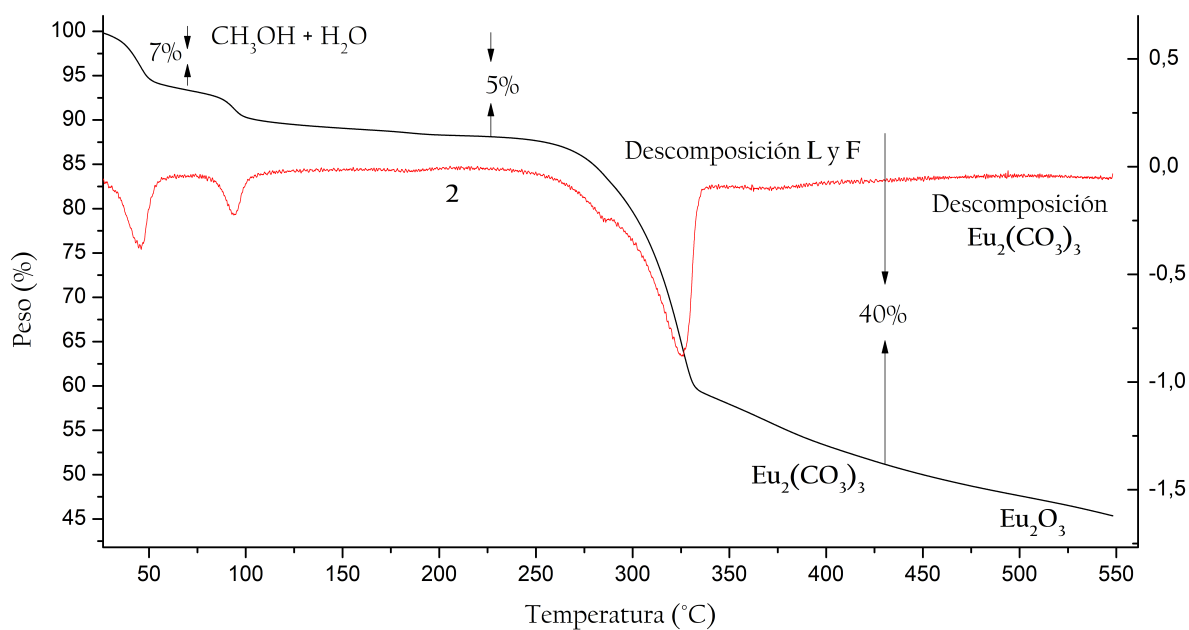


Figura S25. Termograma del complejo 2.

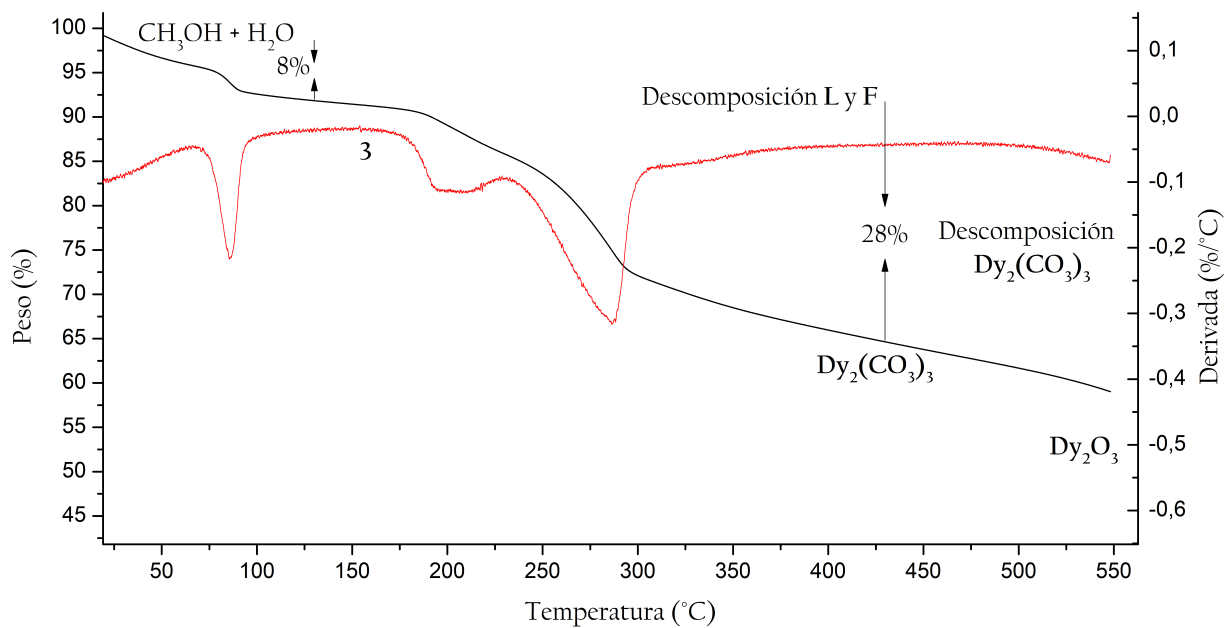


Figura S26. Termograma del complejo 2.

4 Espectros de masas

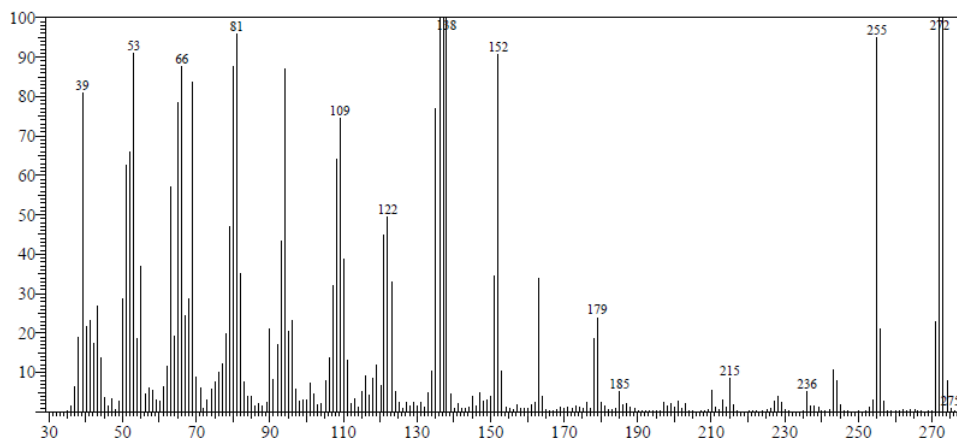


Figura S27. Espectro de masas de F.

5 Datos de tiempo de relajación T_1 del agua

Tabla S1. Tiempos T_1 encontrados para el agua en presencia y ausencia de compuesto.

Dotarem®		L	
Concentración (mmol·L ⁻¹)	H ₂ O T_1 (s)	Concentración (mmol·L ⁻¹)	H ₂ O T_1 (s)
0	3.097	0	3.097
16.56	2.813	11.92	3.058
32.89	2.531	23.68	3.098
49.02	2.330	35.29	3.062
64.94	2.108	46.75	3.148
80.65	1.986	58.06	3.142
96.15	1.881	69.23	3.009
1		2	
Concentración (mmol·L ⁻¹)	H ₂ O T_1 (s)	Concentración (mmol·L ⁻¹)	H ₂ O T_1 (s)
0	3.097	0	3.097
12.58	2.117	11.92	3.261
25.00	1.8	23.68	3.235
37.25	1.587	35.29	3.206
49.35	1.408	46.75	3.186
61.29	1.285	58.06	3.165
73.08	1.151	69.23	3.139
3		4	
Concentración (mmol·L ⁻¹)	H ₂ O T_1 (s)	Concentración (mmol·L ⁻¹)	H ₂ O T_1 (s)
0	3.097	0	3.097
11.92	3.181	11.92	2.851
23.68	3.149	23.68	2.791
35.29	3.125	35.29	2.744
46.75	3.100	46.75	2.664
58.06	3.068	58.06	2.618
69.23	3.048	69.23	2.544